

УДК 669.24'3'788 : 538.2

## МАГНИТНЫЕ СВОЙСТВА ТВЕРДЫХ РАСТВОРОВ ВОДОРОДА В СПЛАВАХ НИКЕЛЬ—МЕДЬ

В. Е. Антонов, И. Т. Белаши, В. Ф. Дегтярева,  
Е. Г. Понятовский, В. Г. Тиссен

Для растворов водорода в сплавах Ni—Cu с ГЦК решеткой, содержащих 20 и 40 ат.% Cu, изучены фазовые равновесия и поведение намагниченности в полях до 50 кЭ при  $4,2 \leq T \leq 200$  К и атмосферном давлении. Сплавы насыщали водородом при  $P_{H_2} \leq 65$  кбар.

Развитие методов сжатия водорода до давлений в десятки килобар позволило получать гомогенные растворы с атомным отношением водород/металл до  $n \sim 1$  на базе никеля и его сплавов. Специфическим свойством этих металлов, отличающим их от переходных металлов IV—V групп, гидриды которых получают при низких давлениях водорода, является существование магнитного порядка. Предпринятое в данной работе исследование влияния водорода на магнитные свойства сплавов Ni—Cu завершает цикл работ по магнитным свойствам растворов водорода с ГЦК подрешеткой переходного металла ( $\gamma$ -растворов).

Зависимости спонтанной намагниченности  $\sigma_0$  при  $T=0$  К и атмосферном давлении от средней концентрации  $N^e$  электронов  $3d+4s$  для ГЦК сплавов Ni—Fe, содержащих  $\lesssim 60$  ат.% Fe, Ni—Co и Ni—Cu ложатся на единую прямую с наклоном  $\partial\sigma_0/\partial N^e \approx -1 \mu_B/\text{эл}$  ( $\mu_B$  — магнетон Бора) и, таким образом, хорошо описываются моделью жесткой зоны для сильных коллективизированных ферромагнетиков [1]. Изучение  $\gamma$ -растворов водорода в сплавах Ni—Fe [2],  $\text{Fe}_{65}(\text{Ni}_{1-x}\text{Mn}_x)_{35}$  [3, 4], Ni—Co [5] и Ni—Mn [6] показало, что у таких растворов зависимости спонтанной намагниченности  $\sigma_0(n)$  и точек Кюри  $T_c(n)$  можно объяснить в рамках зонной теории ферромагнетизма, если считать, что водород поставляет в зону проводимости металла дробное число электронов  $\eta < 1$  эл/протон [6]. Поскольку как у исходных сплавов, так и у исследованных растворов водорода на их основе магнитные свойства оказываются обусловленными в основном электронной концентрацией, разумно предположить, что в ряду сплавов никеля с железом, кобальтом и медью характер зависимостей  $\sigma_0(n)$  и  $T_c(n)$  должен закономерно изменяться с  $N^e$ .

У сплавов Ni—Fe и Ni—Co концентрация  $N^e < N_{\text{Ni}}^e = 10$  эл/атом. Изучение растворов водорода в сплавах Ni—Cu, у которых  $N^e > N_{\text{Ni}}^e$ , представляется тем более интересным, что влияние водорода на магнитные свойства сплавов Ni—Fe и Ni—Co возрастает по мере увеличения  $N^e$ , а для никеля оказывается даже более сильным, чем это следует из экстраполяции данных, полученных на сплавах Ni—Fe [2] и Ni—Co [5]. Например, при  $n < 0,8$  насыщение водородом сплавов Ni—Fe с атомной долей железа  $0,1 \leq x_{\text{Fe}} \leq 0,6$  приводит к приблизительно линейному понижению  $\sigma_0$ , и экстраполяция зависимости  $\partial\sigma_0/\partial n$  от содержания железа на чистый никель дает  $(\partial\sigma_0/\partial n)_{\text{экстр}} \approx -0,63 \mu_B/\text{атом}$  [2]. Исследовать зависимость  $\sigma_0(n)$  в системе Ni—H непосредственно нельзя из-за расслоения твердого раствора на изоморфные фазы  $\gamma_1$  и  $\gamma_2$  [7]; при этом равновесные составы фаз, сосуществующих при  $p=1$  атм и  $T < 250$  К, суть  $n_{\gamma_1}^{\text{max}} < 0,02$  и  $n_{\gamma_2}^{\text{min}} = 0,7 \pm 0,05$ , а фаза  $\gamma_2$  с  $n > n_{\gamma_2}^{\text{min}}$  парамагнитна при  $T \geq 4,2$  К [8]. Можно лишь оценить средний наклон зависимости  $\sigma_0(n)$  снизу:  $|(\partial\sigma_0/\partial n)_{\text{ср}}| \geq \sigma_0^{\text{Ni}}/n_{\gamma_2}^{\text{min}} \approx 0,87 \mu_B/\text{атом}$  (никель обладает  $\sigma_0^N \approx 0,606 \mu_B/\text{атом}$  [9]). Как видим, величина  $|(\partial\sigma_0/\partial n)_{\text{ср}}$  заметно превышает  $|(\partial\sigma_0/\partial n)_{\text{экстр}}$ .

Данная работа посвящена изучению влияния водорода на магнитные свойства неупорядоченных сплавов Ni—Cu, содержащих 20 и 40 ат. % Cu. Построены фазовые  $T-p_{\text{H}_2}$  диаграммы при  $p_{\text{H}_2} \leq 20$  кбар и  $T \leq 623$  К, а при атмосферном давлении исследованы поведение намагниченности в полях до 50 кЭ при  $4,2 \leq T \leq 200$  К и зависимости параметра ГЦК решетки металла при  $T=83$  К от содержания водорода для образцов, насыщенных водородом при  $p_{\text{H}_2} \leq 65$  кбар. Ранее для сплавов Ni—Cu при давлениях водорода до 10 кбар и двух температурах 298 и 318 К были сняты изотермы термоэ.д.с. [10]. При атмосферном давлении на образцах Ni—Cu—H, полученных методом электролитического насыщения водородом, показано, что водород подавляет ферромагнитное упорядочение [11, 12], а при  $T=293$  К изучено поведение параметров ГЦК металлических подрешеток фаз  $\gamma_1$  и  $\gamma_2$  в процессе распада образцов на металл и молекулярный водород [11].

Сплавы выплавлены в индукционной печи в вакууме из электролитических никеля и меди. Слитки подвергали гомогенизирующему отжигу при  $T=1250$  К в течение 24 ч с последующей закалкой в воде. После прокатки при комнатной температуре в фольгу  $\approx 0,2$  мм сплавы вновь отжигали при  $T=1250$  К в течение 15 мин для снятия механических напряжений и вновь закаливали в воде. Образцы изготавливали из этой фольги.

Гидрирование сплавов проводили путем выдержки в течение нескольких часов при  $T=520$  К и  $p_{\text{H}_2} \leq 65$  кбар, после чего камеру высокого давления охлаждали до 220 К, давление снижало до атмосферного, образцы извлекали из камеры и помещали в жидкий азот для предотвращения потери водорода (при атмосферном давлении изучаемые растворы Ni—Cu—H оказались кинетически неустойчивыми относительно распада на металл и молекулярный водород при  $T \geq 250$  К). Содержание водорода в образцах определяли с точностью 3%, собирая выделявшийся при комнатной температуре и атмосферном давлении водород в стеклянную емкость с мерными делениями, из которой при этом вытекался силикон.

Для измерения намагниченности использовали образцы массой  $\sim 50$  мг, набранные из полосок фольги размерами  $6 \times 0,8$  мм. Намагниченность измеряли с погрешностью 5% индукционным методом [13] в импульсных магнитных полях до 50 кЭ длительностью  $\sim 0,01$  с в интервале температур от 4,2 до 200 К. Значения  $\sigma_0$  и  $T_c$  образцов при атмосферном давлении определяли с помощью уравнений теории очень слабого ферромагнетизма коллективизированных электронов [14]. Рентгеновские съемки проводились на дифрактометре ДРОН-1 при  $T=83$  К с использованием излучения Cu  $K\alpha$ .

При высоком давлении водорода измеряли электросопротивление сплавов (четырехконтактным методом), а у сплава, содержащего 20 ат. % Cu, было также исследовано поведение точки Кюри (методом дифференциального трансформатора [15], точность  $\pm 5$  К). Погрешность определения давления водорода не превышала  $\pm 0,5$  кбар, температуры  $\pm 3$  К. Манганиновый манометр сопротивления и термопара (хромель—алюминий) были изолированы от воздействия водорода.

## РЕЗУЛЬТАТЫ И ИХ ОБСУЖДЕНИЕ

**Фазовые  $T-p_{\text{H}_2}$  диаграммы систем  $\text{Ni}_{80}\text{Cu}_{20}-\text{H}$  и  $\text{Ni}_{60}\text{Cu}_{40}-\text{H}$ .** Линия изоморфного превращения  $\gamma_1 \rightleftharpoons \gamma_2$  в системе Ni—H (пунктир на рис. 1) заканчивается на  $T-p_{\text{H}_2}$  диаграмме в критической точке с координатами  $620 < T_{\text{кр}} < 700$  К,  $16 < (p_{\text{H}_2})_{\text{кр}} < 19$  кбар [16, 17]. Изучение термоэ.д.с. сплавов Ni—Cu при давлениях водорода до 10 кбар показало [10], что легирование никеля медью слабо смешает давление превращения  $\gamma_1 \rightleftharpoons \gamma_2$  при комнатной температуре, но уменьшает его гистерезис, который достигает  $\sim 3$  кбар для никеля,  $\sim 0,5$  кбар для сплава с 38 ат. % Cu и отсутствует для сплава с 55 ат. % Cu. По мере увеличения содержания меди в сплавах становятся все более пологими и аномалии термоэ.д.с., соответствующие превращениям  $\gamma_1 \rightarrow \gamma_2$  и  $\gamma_2 \rightarrow \gamma_1$ . Такое поведение термоэ.д.с. позволяет заключить, что легирование никеля медью приводит к понижению  $T_{\text{кр}}$  до комнатной температуры при  $0,38 < x_{\text{Cu}} < 0,55$ .

На рис. 2 приведены изотермы электросопротивления сплавов Ni—Cu, содержащих 20 и 40 ат. % Cu, в атмосфере водорода, полученные в процессе ступенчатого повышения и понижения давления при  $T=523$  К. В каждой точке образцы выдерживали в течение времени  $\Delta t$  до прекращения дрейфа сопротивления  $R(\tau)$ , обусловленного диффузионным ха-

рактером образования твердых растворов Ni—Cu—H, и на график наносили конечное значение  $R$ . Кривые  $R(p_{\text{H}_2})$  для сплава с 20 ат.% Cu аналогичны наблюдавшимся для никеля [18]: по мере повышения давления сопротивление возрастает вследствие увеличения концентрации водорода в  $\gamma_1$ -фазе, достигает максимума, резко падает при переходе  $\gamma_1 \rightarrow \gamma_2$ , а затем продолжает монотонно понижаться из-за увеличения содержания водорода в фазе  $\gamma_2$ . Близка и кинетика процессов в системах Ni<sub>80</sub>Cu<sub>20</sub>—H и Ni—H: при  $T \gtrsim 520$  К насыщение зависимостей  $R(\tau)$  при постоянных  $T$  и  $p_{\text{H}_2}$  происходило в однофазных областях за  $\Delta\tau \lesssim 10$  мин, в интервалах превращений  $\gamma_1 \rightarrow \gamma_2$  и  $\gamma_2 \rightarrow \gamma_1$  за  $\Delta\tau \lesssim 30$  мин.

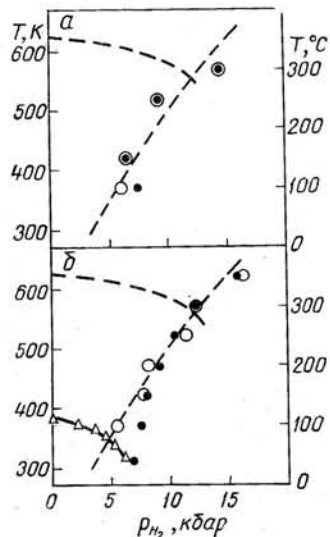


Рис. 1. Фазовые  $T-p_{\text{H}_2}$  диаграммы систем Ni<sub>60</sub>Cu<sub>40</sub>—H (a) и Ni<sub>80</sub>Cu<sub>20</sub>—H (b):  
 • — давление превращений  $\gamma_1 \rightarrow \gamma_2$ ; ○ —  $\gamma_2 \rightarrow \gamma_1$ ; Δ — точки Кюри. Пунктиром показаны кривые точек Кюри и превращений  $\gamma_2 \rightarrow \gamma_1$  в системе Ni—H [17].

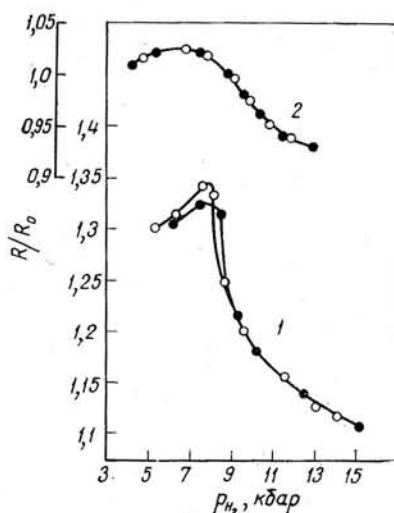


Рис. 2. Изотермы электросопротивления сплавов Ni<sub>80</sub>Cu<sub>20</sub> (1) и Ni<sub>60</sub>Cu<sub>40</sub> (2) в атмосфере водорода при  $T=523$  К:  
 • — точки, полученные при ступенчатом повышении давления; ○ — при понижении;  $R_0$  — сопротивление образцов при  $p=1$  атм;  $T=290$  К.

По мере приближения к комнатной температуре  $\Delta t$  растягивались на многие часы.

У сплава с 40 ат.% Cu кинетика более вялая, а аномалии на кривых  $R(p_{\text{H}_2})$  более пологие. В исследованном интервале температур форма кривых  $R(p_{\text{H}_2})$  слабо меняется как для сплава с 20, так и с 40 ат.% Cu. Положения максимумов на зависимостях  $R(p_{\text{H}_2})$  для этих сплавов нанесены на  $T-p_{\text{H}_2}$  фазовую диаграмму (см. рис. 1). Видно, что точки, полученные на сплавах Ni—Cu при понижении давления, хорошо согласуются с кривой превращения  $\gamma_2 \rightarrow \gamma_1$  для никеля [17, 18], изображенной на рис. 1 пунктиром (отметим, что в системах Ме—H кривая термодинамического равновесия, по-видимому, всегда ближе к кривой разложения гидрида, чем к кривой образования [19]). Таким образом, легирование никеля медью приводит к понижению критической точки расслоения растворов Ni—Cu—H на фазы  $\gamma_1$  и  $\gamma_2$  приблизительно вдоль линии превращения  $\gamma_1 \rightleftharpoons \gamma_2$  в растворе Ni—H. У сплавов Ni—Cu при повышении температуры не происходит отчетливого рассасывания аномалий на зависимостях  $R(p_{\text{H}_2})$ , соответствующих превращениям  $\gamma_1 \rightleftharpoons \gamma_2$ , в достаточно узком температурном интервале, что не позволяет локализовать критические точки в системах Ni<sub>80</sub>Cu<sub>20</sub>—H и Ni<sub>60</sub>Cu<sub>40</sub>—H исходя из данных по электросопротивлению (как это было сделано для

сплавов Ni—Fe [16] и Ni—Mn [6]). Можно лишь утверждать, что в системе  $\text{Ni}_{80}\text{Cu}_{20}$ —H  $T_{\text{кр}} > 473$  К, а в системе  $\text{Ni}_{60}\text{Cu}_{40}$ —H  $T_{\text{кр}} > 373$  К, так как при более низких температурах превращения  $\gamma_1 \rightleftharpoons \gamma_2$  в этих системах обладают гистерезисом (см. рис. 1), то есть заведомо являются переходами I рода.

Для сплава с 20 ат. % Cu на  $T$ — $p_{\text{H}_2}$  диаграмму (рис. 1б) нанесена также линия точек Кюри фазы  $\gamma_1$ . При каждом фиксированном давлении образец выдерживали до прекращения временного дрейфа  $T_c(\tau)$ , появлявшегося вследствие диффузионного характера образования твердых растворов  $\text{Ni}_{80}\text{Cu}_{20}$ —H, и на диаграмму наносили конечное значение  $T_c$ . Как и в случае никеля (пунктир на рис. 1а), увеличение концентрации водорода в  $\gamma_1$ -фазе по мере повышения давления приводит к монотонному снижению  $T_c$  (в инертной среде точки Кюри никеля и сплава  $\text{Ni}_{80}\text{Cu}_{20}$  приблизительно линейно повышаются в зависимости от давления с наклонами  $(dT_c/dp)_{\text{ин}} = 0,32 \pm 0,02$  и  $0,14 \pm 0,02$  К·кбар<sup>-1</sup> соответственно [20]). Фаза  $\gamma_2$  раствора  $\text{Ni}_{80}\text{Cu}_{20}$ —H парамагнитна при  $T > 300$  К.

У сплава с 40 ат. % Cu  $T_c \approx 162$  К. Как  $\gamma_1$ -, так и  $\gamma_2$ -фаза раствора  $\text{Ni}_{60}\text{Cu}_{40}$ —H парамагнитны при  $T > 300$  К.

**Рентгеновские измерения.** На рис. 3 приведены результаты исследования при атмосферном давлении и  $T = 83$  К зависимости  $\Delta V_0 = V(n) - V(0)$ , где  $V(n)$  и  $V(0)$  — объемы элементарных ячеек сплавов Ni—Cu с содержанием водорода  $n$  и без водорода. Сплошной линией изображена зависимость  $\Delta V_0(n)$  при  $T = 83$  К для  $\gamma$ -растворов водорода в сплавах Ni—Fe [2] и  $\text{Fe}_{65}(\text{Ni}_{1-x}\text{Mn}_x)_{35}$  [4], штрих-пунктиром — аналогичная зависимость при  $T = 293$  К, хорошо описывающая экспериментальные данные для целого ряда сплавов на основе палладия [21]. В работе [2] показано, что у растворов Ni—Fe—H величина  $\Delta V_0$  в пределах точности эксперимента не зависит от температуры при  $83 \leq T \leq 220$  К, то есть различие зависимостей  $\Delta V_0(n)$  для сплавов на базе никеля и палладия не обусловлено различием температур (83 и 293 К), при которых производились измерения. Возможные причины изменения наклона этих зависимостей при  $n \gtrsim 0,8$  обсуждены в работах [17, 5].

Расслоения твердых растворов  $\text{Ni}_{60}\text{Cu}_{40}$ —H на фазы  $\gamma_1$  и  $\gamma_2$  не обнаружено во всем исследованном интервале концентраций водорода. Из рис. 3 видно, что зависимость  $\Delta V_0(n)$  для этих растворов нелинейна. При  $n \lesssim 0,15$  она согласуется с зависимостью  $\Delta V_0(n)$  для палладиевых сплавов и имеет наклон  $\beta = (\partial/\partial n)\Delta V_0 \sim 11,5 \text{ \AA}^3$ , затем отклоняется в сторону меньших значений  $\Delta V_0$ , а при  $n \sim 0,3$  имеет перегиб. Причины такого поведения объема образцов при внедрении водорода пока не ясны. Аналогичное поведение зависимости  $\Delta V_0(n)$  при малых  $n$  наблюдалось ранее на твердых растворах Ni—Mn—H [22].

Образцы  $\text{Ni}_{80}\text{Cu}_{20}$ —H при  $n \geq 0,58$  однофазны, а значения  $\Delta V_0(n)$  согласуются с зависимостью для сплавов с 40 ат. % Cu. Образцы с меньшим содержанием водорода состоят из смеси фаз  $\gamma_1$  и  $\gamma_2$  составов  $n_{\gamma_1}^{\max}$  и  $n_{\gamma_2}^{\min}$  соответственно (величины  $\Delta V_0$  для этих фаз помечены треугольниками на рис. 3). Объем элементарной ячейки фазы  $\gamma_2$  у двухфазных образцов соответствует  $n_{\gamma_2}^{\min} \approx 0,6$ , а для фазы  $\gamma_1$  величина  $\Delta V_0(n_{\gamma_1}^{\max}) = 0$

в пределах точности эксперимента  $\delta V_0 \sim 0,3 \text{ \AA}$ . В предположении, что при малых  $n$ , как и при больших, зависимость  $\Delta V_0(n)$  для сплава с 20 ат. % Cu приблизительно та же, что и для сплава с 40 ат. % Cu, это дает  $n_{\gamma_1}^{\max} \lesssim \delta V_0/\beta \approx 0,3/11,5 \approx 0,03$ .

**Намагниченность твердых растворов  $\text{Ni}_{80}\text{Cu}_{20}$ —H.** Зависимость  $\sigma_0(n)$  для сплава с 20 ат. % Cu приведена на рис. 4. При  $n_{\gamma_1}^{\max} < 0,045 \leq n \leq 0,475 < n_{\gamma_2}^{\min}$ , то есть заведомо в области существования фаз  $\gamma_1$  и  $\gamma_2$ , величина  $\sigma_0$  приблизительно линейно понижается по мере уве-

личения содержания водорода в образцах. Наличие линейного участка на зависимости  $\sigma_0(n)$  в двухфазной области показывает, что фазовый состав образцов был близок к равновесному. Здесь следует отметить, что в системах Ме—Н необходимо различать два типа равновесий. Физические свойства образцов, измеренные при высоком давлении водорода и температурах, обеспечивающих подвижность водорода в металле, достаточную для достижения термодинамического равновесия между твердым раствором и молекулярным водородом, соответствуют равновесным для систем твердый раствор — избыточный водород при данных  $T$  и  $p_{H_2}$ . Свойства же образцов, насыщенных водородом при высоком давлении, но исследованных при атмосферном давлении и темпера-

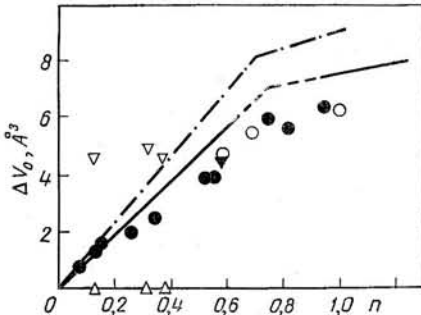


Рис. 3. Зависимости  $\Delta V_0 = V(n) - V(0)$  (см. текст):

● — для сплава  $Ni_{60}Cu_{40}$ ; ○ —  $Ni_{80}Cu_{20}$ ;  
 △, ▽ — значения  $\Delta V_0$  для  $\gamma_1$ - и  $\gamma_2$ -фаз  
 двухфазных образцов  $Ni_{80}Cu_{20}-H$ ; ▼ —  
 значение  $\Delta V^{ct}$  для двухфазных образ-  
 цов  $Ni_{80}Cu_{20}-H$  [11], отнесенное к  $n=n_{\gamma_2}^{\min}$   
 (см. текст); сплошная кривая — зависи-  
 мость  $\Delta V_0(n)$  для сплавов Ni—Fe [2] и  
 $Fe_{85}(Ni_{1-x}Mn_x)_{15}$  [4], штрих-пунктир-  
 ная — для сплавов на базе палладия [21].

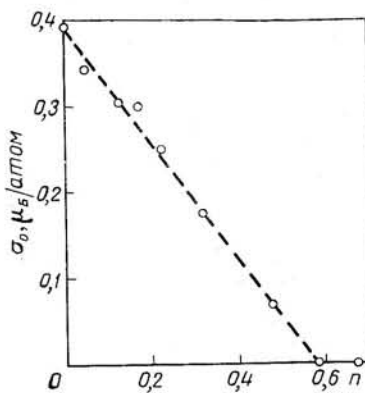


Рис. 4. Зависимость спонтанной намагниченности  $\sigma_0$  при  $T=0$  К от содержания водорода в образцах  $Ni_{80}Cu_{20}-H$ .

турах, достаточно низких, чтобы затормозить выделение водорода из твердого раствора, но достаточно высоких, чтобы обеспечить диффузионное перераспределение водорода внутри образца, соответствуют метастабильным равновесиям в системе Ме—Н при фиксированном количестве водорода в твердом образце. Как уже отмечалось в работе [6], в результате изменения условий равновесия границы купола расслоения на фазы  $\gamma_1$  и  $\gamma_2$  могут значительно смещаться. Например, в системе Ni—Н  $n_{\gamma_2}^{\min} \approx 0,7$  при  $p=1$  атм и  $T < 250$  К [8], в то время как при комнатной температуре и давлении водорода, близком к равновесному,  $n_{\gamma_2}^{\min} > 1$  [17, 23]. Напомним, что при атмосферном давлении наши образцы Ni—Сu—Н ни разу не были нагреты выше 220 К. Следовательно, наличие участка линейной зависимости  $\sigma_0(n)$  для двухфазных образцов  $Ni_{80}Cu_{20}-H$  показывает, что даже при  $T < 220$  К подвижность водорода в них достаточно велика, чтобы фазовый состав смеси  $\gamma_1 + \gamma_2$  был близок к равновесному именно при  $p=1$  атм и фиксированном содержании водорода в образце.

Растворы  $Ni_{80}Cu_{20}-H$  при  $n \geq 0,58$  ( $\approx n_{\gamma_2}^{\min} \approx 0,6$  согласно рентгеновским данным), то есть в области гомогенности фазы  $\gamma_2$ , не обладают спонтанной намагниченностью при  $T \geq 4,2$  К. Аппроксимация экспериментальной зависимости  $\sigma_0(n)$  при  $0,045 \leq n \leq 0,475$  прямой линией методом наименьших квадратов (пунктир на рис. 4) дает как раз

$n_0 = 0,58 \pm 0,02$  для  $\sigma_0 = 0$ . Дополнительным свидетельством парамагнетизма фазы  $\gamma_2$  в этой системе при  $T \geq 4,2$  К и составах по водороду вплоть до  $n_{\gamma_2}^{\min}$  служит отсутствие аномалий при  $4,2 \leq T \leq 200$  К на температурных зависимостях спонтанной намагниченности двухфазных образцов  $\text{Ni}_{80}\text{Cu}_{20}-\text{H}$  (в том числе и образца с  $n=0,475$ , содержащего  $n/n_{\gamma_2}^{\min} \approx 80\%$  фазы  $\gamma_2$ ), которые можно было бы приписать точкам Кюри  $\gamma_2$ -фазы. Следовательно,  $\sigma_0$  двухфазных образцов  $\text{Ni}_{80}\text{Cu}_{20}-\text{H}$  пропорциональна содержанию фазы  $\gamma_1$ , и состав, при котором  $\sigma_0 = 0$ , есть  $n_{\gamma_2}^{\min} = n_0 = 0,58 \pm 0,02$ , что хорошо согласуется с оценкой, сделанной на основе рентгеновских данных.

Завершая обсуждение рис. 4, отметим, что значение  $\sigma_0(0)$  исходного сплава  $\text{Ni}_{80}\text{Cu}_{20}$  хорошо ложится на изображенную пунктиром зависи-

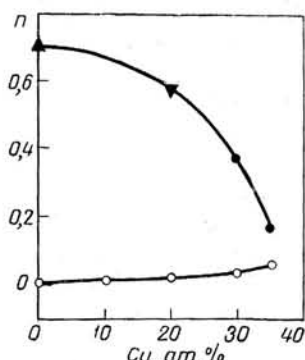


Рис. 5.  $T$ -с сечение фазовой диаграммы системы  $\text{Ni}-\text{Cu}-\text{H}$  при  $T=293$  К и  $p=1$  атм:

▲ — величина  $n_{\gamma_2}^{\min}$  для растворов  $\text{Ni}-\text{H}$  [8]; ▼ — для  $\text{Ni}_{80}\text{Cu}_{20}-\text{H}$ ; ●, ○ — оценки  $n_{\gamma_2}^{\min}$  и  $n_{\gamma_1}^{\max}$ , сделанные на основе рентгеновских данных работы [11] (см. текст).

мость  $\sigma_0(n)$  для двухфазных образцов  $\text{Ni}_{80}\text{Cu}_{20}-\text{H}$ . Это также согласуется с рентгеновскими данными о малой ( $n_{\gamma_1}^{\max} < 0,03$ ) растворимости водорода в фазе  $\gamma_1$  раствора  $\text{Ni}_{80}\text{Cu}_{20}-\text{H}$  при  $T < 220$  К, так как в области гомогенности фазы  $\gamma_1$  зависимость  $\sigma_0(n)$  не обязана следовать пунктирной линии и, по-видимому, является более резкой (см. введение к данной работе).

Накопленный экспериментальный материал позволяет построить  $T$ -с сечение фазовой диаграммы системы  $\text{Ni}-\text{Cu}-\text{H}$  при атмосферном давлении (рис. 5). Значения  $n_{\gamma_2}^{\min}$  для растворов  $\text{Ni}-\text{H}$  при  $T < 250$  К [8] и  $\text{Ni}_{80}\text{Cu}_{20}-\text{H}$  при  $T < 220$  К получены с помощью магнитных измерений. Остальные точки на рис. 5 мы рассчитали, используя зависимость  $\Delta V_0(n)$  для твердых растворов  $\text{Ni}_{80}\text{Cu}_{40}-\text{H}$  (см. рис. 3) на основании определенных в работе [11] параметров ГЦК подрешеток металла  $\gamma_1$  и  $\gamma_2$ -фаз образцов, полученных методами электрохимии, в процессе их распада на металл и молекулярный водород при  $T=293$  К. Здесь следует сделать несколько замечаний. Из данных [11] видно, что распад растворов  $\text{Ni}-\text{Cu}-\text{H}$  при комнатной температуре происходит как путем перехода отдельных областей  $\gamma_2$ -фазы в фазу  $\gamma_1$ , так и путем понижения

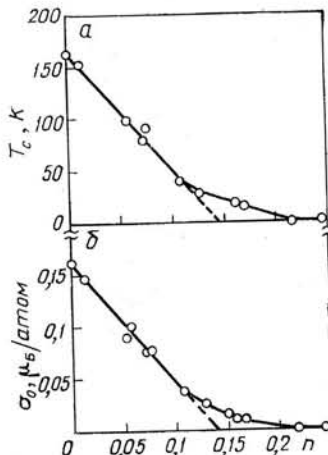


Рис. 6. Зависимости точек Кюри  $T_c(n)$  и спонтанной намагниченности  $\sigma_0(n)$  для твердых растворов сплава  $\text{Ni}_{80}\text{Cu}_{40}-\text{H}$ .

концентрации водорода в фазах  $\gamma_2$  и  $\gamma_1$ . В процессе распада объем элементарной ячейки фазы  $\gamma_2$  достигал минимального значения и далее практически не изменялся. Именно эти стационарные значения  $\Delta V^{\text{ст}}$  и были использованы нами для оценок  $n_{\gamma_2}^{\min}$ . Вообще говоря, обеднение фазы  $\gamma_2$  водородом может происходить вплоть до концентрации, при которой происходит потеря термодинамической устойчивости  $n_{\gamma_2}^{\text{неуст}} < n_{\gamma_2}^{\min}$ , однако хорошее совпадение  $\Delta V^{\text{ст}}$  (зачерненный треугольник на рис. 3) с  $\Delta V_0(n_{\gamma_2}^{\min})$  для растворов  $\text{Ni}_{80}\text{Cu}_{20}-\text{H}$  позволяет надеяться, что и для растворов водорода на базе сплавов  $\text{Ni}_{70}\text{Cu}_{30}$  и  $\text{Ni}_{65}\text{Cu}_{35}$   $\Delta V_0^{\text{ст}} \approx \Delta V_0(n_{\gamma_2}^{\min})$  и соответственно приведенные на рис. 5 для этих сплавов значения  $n_{\gamma_2}^{\text{ст}} \approx n_{\gamma_2}^{\min}$ . Что же касается приведенных на том же рисунке величин  $n_{\gamma_1}$ , то можно лишь утверждать, что  $n_{\gamma_1}^{\max} \gtrsim n_{\gamma_1}$ . Следует отметить, что поскольку для растворов  $\text{Ni}-\text{H}$  и  $\text{Ni}_{80}\text{Cu}_{20}-\text{H}$   $T_{\text{кр}} \gg 293 \text{ K}$ , значения  $n_{\gamma_2}^{\min}$  для этих растворов должны слабо изменяться при  $T \leq 293 \text{ K}$ , и, таким образом, изображенное на рис. 5  $T$ —сечение фазовой диаграммы системы  $\text{Ni}-\text{Cu}-\text{H}$  можно целиком отнести к комнатной температуре.

Из рис. 5 видно, что в системе  $\text{Ni}-\text{Cu}-\text{H}$  при атмосферном давлении  $T_{\text{кр}}$  опускается до 293 К, когда содержание меди в сплавах достигает  $\approx 37 \text{ ат. \%}$ , при этом  $n_{\text{кр}} \lesssim 0,1$ . В то же время при высоком давлении водорода для сплава, содержащего 40 ат. % Cu,  $T_{\text{кр}} > 373 \text{ K}$  (см. предыдущий раздел). Значительное изменение  $T_{\text{кр}}$  в системе  $\text{Ni}_{60}-\text{Cu}_{40}-\text{H}$  наряду с изменением  $n_{\gamma_2}^{\min}$  в системе  $\text{Ni}-\text{H}$  [6] является вторым примером сильной деформации купола расслоения на фазы  $\gamma_1$  и  $\gamma_2$  в системах  $\text{Me}-\text{H}$  при изменении условий равновесия (см. выше).

**Магнитные свойства твердых растворов  $\text{Ni}_{60}\text{Cu}_{40}-\text{H}$ .** Зависимости  $T_c(n)$  и  $\sigma_0(n)$  для этих растворов приведены на рис. 6. При  $n \lesssim 0,12$  обе величины приблизительно линейно понижаются с концентрацией водорода, а затем зависимости становятся более пологими. При  $n \geq 0,216$  образцы  $\text{Ni}_{60}\text{Cu}_{40}-\text{H}$  не обладают спонтанной намагниченностью вплоть до  $T = 4,2 \text{ K}$ .

Поведение зависимости  $T_c(n)$  показывает, что как и в случае рентгеновских измерений (см. рис. 3), у изученных образцов  $\text{Ni}_{60}\text{Cu}_{40}-\text{H}$  расслоение на фазы  $\gamma_1$  и  $\gamma_2$  при атмосферном давлении отсутствует. Действительно, из рис. 5 видно, что увеличение содержания меди в сплавах  $\text{Ni}-\text{Cu}$  приводит к снижению критической концентрации водорода в растворах  $\text{Ni}-\text{Cu}-\text{H}$ , и уже для сплава с  $x_{\text{Cu}} = 0,37$   $n_{\text{кр}} \lesssim 0,1$ . Следовательно, если бы в растворе  $\text{Ni}_{60}\text{Cu}_{40}-\text{H}$  происходило расслоение на фазы  $\gamma_1$  и  $\gamma_2$ , то оно должно было бы наблюдаться при  $n < 0,1$ . В частности, при  $n_{\gamma_1}^{\max} \ll n < n_{\gamma_2}^{\min}$ , то есть у  $\gamma_1$ -образца с  $n = n_{\gamma_1}^{\max}$  и у образцов, состоящих из смеси фаз  $\gamma_1 + \gamma_2$ , спонтанная намагниченность должна была бы исчезать при  $T = T_c(n_{\gamma_1}^{\max}) = \text{const}$ . В то же время из рис. 6 видно, что при  $n \lesssim 0,12$  точка Кюри раствора  $\text{Ni}_{60}\text{Cu}_{40}-\text{H}$  монотонно понижается по мере увеличения концентрации водорода. Что же касается выпадения зависимости  $T_c(n)$  при  $n > 0,12$ , то оно, по-видимому, вызвано образованием ферромагнитных кластеров, к чему склонны и исходные сплавы  $\text{Ni}-\text{Cu}$  [24].

Линейный участок зависимости  $\sigma_0(n)$  для растворов  $\text{Ni}_{60}\text{Cu}_{40}-\text{H}$  (см. рис. 6б) имеет наклон  $\partial\sigma_0/\partial n = (-1,16 \pm 0,06) \mu_B/\text{атом}$ . Эта величина, а также величины  $\partial\sigma_0/\partial n$  для сплавов  $\text{Ni}-\text{Fe}$  и  $\text{Ni}-\text{Co}$  приведены на рис. 7 в зависимости от средней электронной концентрации  $N_e$  исходных сплавов. Напомним, что у этих сплавов как зависимости  $\sigma_0(x_{\text{Ni}})$  [1], так и  $\sigma_0(n)$  [6] можно описать в предположении, что они обусловлены в основном изменением электронной концентрации, причем водо-

род следует считать донором дробного числа электронов  $\eta < 1$  эл./протон. Уже отмечалось [5, 6], что основанием для такого описания зависимостей  $\sigma_0(n)$  могут в определенной степени служить результаты расчетов зонных структур  $\gamma$ -гидридов ряда переходных металлов [25—28]. Эти расчеты показывают, что хотя для описания растворов Ме—Н модель жесткой зоны и неприменима, изменения состояний  $d$ -симметрии исходного металла при внедрении водорода существенно слабее, чем  $sp$ -состояний. При  $n \leq 1$  образования новой (водородной) электронной зоны ниже уровня Ферми не происходит, а увеличение числа протонов в междоузлиях металла лишь понижает энергию состояний  $sp$ -симметрии, что приводит к возрастанию числа состояний ниже энергии Ферми. Таким образом, часть электронов ( $\sim 0,4 \div 0,1$  эл./протон для Pd и Ni [25]), поставляемых атомами водорода в зону проводимости, заполняет состояния выше уровня Ферми, а часть уходит на эти дополнительные уровни ниже него. Для сильных коллективизированных ферромагнетиков, у которых при  $T=0$  К одна половина  $d$ -зоны ( $d\uparrow$  со спинами вверх) заполнена целиком, а вторая ( $d\downarrow$  со спинами вниз) частично, увеличение концентрации водорода должно в этом случае приводить к понижению  $T_c$  и приблизительно линейному понижению  $\sigma_0$  с наклоном  $|\partial\sigma_0/\partial n| \approx g\eta\mu_B/2 \lesssim 1,1\mu_B/\text{атом} \approx |\partial\sigma_0/\partial n|^{\max}$  вследствие заполнения  $d\downarrow$ -подзоны (фактор спектроскопического расщепления  $g \approx 2,2$

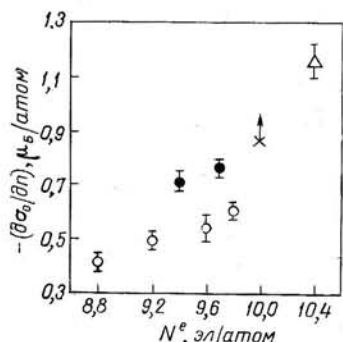


Рис. 7. Зависимости величин  $|\partial\sigma_0/\partial n|$  от среднего числа электронов ( $3d+4s$ ) на атом у исходных металлов:

○ — для сплавов Ni—Fe [2]; ● — Ni—Co [5]; Δ — Ni—Cu; × — для Ni (стрелка означает, что значение  $|\partial\sigma_0/\partial n|$  не ниже величины, показанной крестиком).

для никеля и его сплавов [9]). Такая ситуация реализуется, по-видимому, для растворов водорода в сплавах Ni—Fe с  $x_{\text{Fe}} \leq 0,6$  и Ni—Co (см. рис. 7).

Как видно из рис. 7, наклоны зависимостей  $\sigma_0(n)$  в ряду сплавов никеля с железом, кобальтом и медью возрастают по мере увеличения  $N^e$ , и для сплава Ni<sub>60</sub>Cu<sub>40</sub>  $|\partial\sigma_0/\partial n| = 1,16 \pm 0,06\mu_B/\text{атом} \gtrsim |\partial\sigma_0/\partial n|^{\max}$ . Большие отрицательные наклоны зависимости  $\sigma_0(n)$  (в том числе и  $|\partial\sigma_0/\partial n| > |\partial\sigma_0/\partial n|^{\max}$ ) при  $\eta < 1$  эл./протон возможны и в случае «жесткой  $d$ -зоны», если ферромагнетик не является сильным (то есть при  $T=0$  К имеются дырки как в  $d\downarrow$ -, так и в  $d\uparrow$ -подзонах), ибо в этом случае увеличение электронной концентрации будет приводить не только к заполнению  $d\downarrow$ -подзоны, но и к увеличению числа дырок в  $d\uparrow$ -подзоне (такая ситуация наблюдается, по-видимому, при гидрировании сплава Ni<sub>90</sub>Mn<sub>10</sub> [6]). Возможно, увеличение  $|\partial\sigma_0/\partial n|$  для образцов с  $N^e \gtrsim N_{\text{Ni}}^e$  (см. рис. 7) обусловлено появлением заметного числа дырок в  $d\uparrow$ -подзонах растворов водорода на базе этих металлов. Так, например, растворение водорода в никеле, по-видимому, уменьшает параметр обменного взаимодействия  $I$  [28] и соответственно энергию расщепления  $d\uparrow$ - и  $d\downarrow$ -подзон  $\Delta_0 = I \cdot \sigma_0$ . Оценки показывают, что такое уменьшение  $I$  для никеля может быть вызвано увеличением объема образца при гидрировании. Действительно, используя приближение Канамори [29], Матон получил для зависимости  $I$  от ширины  $d$ -зоны  $W$  выражение  $d \ln I / d \ln W = (1 - I/I_0)$ , где  $I_0$  — «внутриатомный» параметр обменного взаимодействия, не зависящий от объема [30]. Полагая, что  $d \ln W / d \ln V = -5/3$  [31], для изменения объема от  $V_{\text{H}}$  до  $V_{\text{K}}$  получаем

$$\frac{I_{\text{H}}(1 - I_{\text{K}}/I_0)}{I_{\text{K}}(1 - I_{\text{H}}/I_0)} = (V_{\text{K}}/V_{\text{H}})^{5/3},$$

что при  $V_{\text{к}}/V_{\text{н}} = V(n_{\gamma_2}^{\text{min}})/V(0) \approx 1,18$  [17] и  $I_{\text{н}}/I_0 \approx 0,4$  [30] приводит к  $I_{\text{к}}/I_{\text{н}} \sim 0,84$  (следует отметить, что грубость использованных приближений позволяет рассматривать этот результат лишь как качественный).

Итак, растворение водорода в сильных коллективизированных ферромагнетиках Ni—Fe, Ni—Co и Ni—Cu приводит к понижению  $\sigma_0$  с наклонами, возрастающими по мере увеличения электронной концентрации исходных сплавов (см. рис. 7) вплоть до величины  $|\partial\sigma_0/\partial n| \approx \approx 1,16 \mu\text{В}/\text{атом}$  для сплава Ni<sub>60</sub>Cu<sub>40</sub>, что превышает максимально допустимое значение  $|\partial\sigma_0/\partial n|^{\text{max}}$  для растворов водорода, являющихся сильными коллективизированными ферромагнетиками, если считать, что влияние водорода на  $\sigma_0$  в основном связано с увеличением степени заполнения  $d$ -зоны с коэффициентом  $\approx \eta < 1$  эл/протон (плотность  $d$ -состояний на уровне Ферми значительно выше, чем плотность  $sp$ -состояний, и электроны, поставляемые водородом в зону проводимости выше уровня Ферми, в основном попадают именно в  $d$ -состояния). Наблюдаемые эффекты могут быть обусловлены появлением дырок в обеих  $d$ -подзонах этих сплавов при гидрировании вследствие уменьшения эффективного обменного взаимодействия. Следует отметить, что чем больше степень заполнения  $d$ -зоны у наших сплавов (то есть чем больше  $N^e$ ), тем выше чувствительность перехода сильного ферромагнетизма в слабый к величине  $I$ , так как магнитное упорядочение исчезает при конечной плотности состояний на уровне Ферми (когда перестает выполняться критерий Стонера  $IN(\varepsilon_F) > 1$ , где  $N(\varepsilon_F)$  — плотность состояний на уровне Ферми  $\varepsilon_F$  в отсутствие упорядочения), и, следовательно, необходимой степенью превращения образцов из сильных зонных ферромагнетиков в парамагнетики является появление дырок в обеих  $d$ -подзонах при некоторой электронной концентрации.

Авторы благодарят Б. К. Пономарева за предоставленную аппаратуру для магнитных измерений, К. А. Пересаду, А. И. Амелина и А. Н. Грачева за помощь в подготовке и проведении экспериментов, а также В. Г. Глебовского, в группе которого были выплавлены сплавы Ni—Cu.

Институт физики твердого тела  
АН СССР

Поступила в редакцию  
29 февраля 1980 г.

## ЛИТЕРАТУРА

- Crangle J., Hallam G. C. The magnetization of face-centered cubic and body-centered cubic iron+nickel alloys. — Proc. Roy. Soc. Ser. A, 1963, **272**, № 1348, p. 119—132.
- Антонов В. Е., Белаш И. Т., Дегтярева В. Ф. и др. Магнитные свойства растворов водорода в сплавах никель—железо. — ФТТ, 1978, **20**, № 9, с. 2680—2686.
- Антонов В. Е., Белаш И. Т., Пономарев Б. К. и др. Ферромагнетизм в гидридах неферромагнитных сплавов железо—никель—марганец. — ФТТ, 1978, **20**, № 2, с. 418—421.
- Antonov V. E., Belash I. T., Ponomarev B. K. a. o. Magnetic properties of hydrogen solid solutions in Fe—Ni—Mn alloys. — Phys. stat. sol. (a), 1979, **52**, № 2, p. 703—710.
- Antonov V. E., Belash I. T., Ponomarev B. K. a. o. The magnetic properties of Ni—Co—H solid solutions. — Phys. stat. sol. (a), 1980, **57**, № 1, p. 75—80.
- Antonov V. E., Belash I. T., Thiessen V. G. The magnetic properties of Ni—Mn—H solid solutions. — Phys. stat. sol. (a), 1980, **59**, № 2, p. 673—684.
- Baranowski B., Wisniewski R. Formation of nickel hydride from nickel and gaseous hydrogen. — Bull. Acad. Polon. Sci., 1966, **14**, № 4, p. 273—276.
- Тиссен В. Г., Антонов В. Е., Белаш И. Т. и др. Намагниченность твердых растворов Ni—H. — ДАН СССР, 1978, **242**, № 6, с. 1390—1392.
- Вонсовский С. В. Магнетизм. М.: Наука, 1971, 1032 с.
- Baranowski B., Tkacz M. Thermopower of nickel-copper alloys in high pressure of gaseous hydrogen. — Europhys. Conf. Abstracts, 1975, **1A**, p. 108—110.

11. Bauer H. J., Berninger C., Zimmermann G. Nachweis interstitieller Wasserstoffeinlagerung in Ni—Cu—Legierungen auf magnetischem und röntgenographischem Wege. — Zs. Naturforsch., 1968, 23a, S. 2023—2029.
12. Bauer H. J. Temperaturabhängigkeit der spontanen Magnetisierung von Ni—Cu30 bei interstitieller Einlagerung von Wasserstoff. — Zs. angew. Phys., 1968, 26, № 1, S. 87—90.
13. Jacobs I. S., Lawrence P. E. Measurement of magnetization curves in high pulsed magnetic fields. — Rev. Sci. Instrum., 1958, 29, № 8, p. 713—714.
14. Edwards D. M., Wohlfarth E. P. Magnetic isotherms in the band model of ferromagnetism. — Proc. Roy. Soc. Ser. A, 1968, 303, № 1472, p. 127—137.
15. Дубовка Г. Т., Понятовский Е. Г. О смещении точек Кюри в сплавах Fe—Ni под действием давления. — ФММ, 1972, 33, вып. 3, с. 640—642.
16. Понятовский Е. Г., Антонов В. Е., Белащ И. Т. О критических явлениях в системе Ni—Fe—Н при высоких давлениях водорода. — ДАН СССР, 1976, 230, № 3, с. 649—651.
17. Антонов В. Е., Белащ И. Т., Понятовский Е. Г. Фазовые  $T$ — $P$  диаграммы систем Ni—D и Ni—Н при температурах до 375°С и давлениях до 20 кбар. — ДАН СССР, 1977, 233, № 6, с. 1114—1117.
18. Понятовский Е. Г., Антонов В. Е., Белащ И. Т. Фазовая  $T$ — $P$  диаграмма системы Ni—Н при температурах до 630 К и давлениях до 18 кбар. — ДАН СССР, 1976, 229, № 2, с. 391—393.
19. Bagalowski B., Bochencka K. The free energy and entropy of formation of nickel hydride. — Zs. phys. Chem. N. F., 1965, 45, № 1/2, S. 140—152.
20. Bloch D. Contribution à l'étude des propriétés magnétiques des solides sous pression hydrostatique. — Ann. phys., 1966, 1, № 1/2, p. 93—125.
21. Baranowski B., Majchrzak S., Flanagan T. B. The volume increase of fcc metals and alloys due to interstitial hydrogen over a wide range of hydrogen contents. — J. Phys. F: Metal Phys., 1971, 1, № 3, p. 258—261.
22. Kruckowski M., Baranowski B. Absorption and desorption of hydrogen in manganese and manganese-nickel alloys in high pressure conditions. Formation of manganese hydride. — J. Less-Common Metals, 1976, 49, p. 385—389.
23. Baranowski B. Metal-hydrogen systems at high hydrogen pressures. — Topics Appl. Phys., 1978, 29, p. 157—200.
24. Vogt E. The origin of ferromagnetism and antiferromagnetism in alloys of transition metals. — Phys. stat. sol. (a), 1975, 28, № 1, p. 11—38.
25. Switendick A. C. The change in electronic properties on hydrogen alloying and hydride formation. — Topics Appl. Phys., 1978, 28, p. 101—129.
26. Switendick A. C. Electronic energy bands of metal hydrides—palladium and nickel hydride. — Ber. Bunsenges. phys. Chem., 1972, 76, № 6, S. 535—542.
27. Kulikov N. I., Borzunov V. N., Zvonkov A. D. The electronic band structure and interatomic bond in nickel and titanium hydrides. — Phys. stat. sol. (b), 1978, 86, № 1, p. 83—91.
28. Kulikov N. I. Band structure and electronic properties of transition metal hydrides. — Phys. stat. sol. (b), 1979, 91, № 2, p. 753—762.
29. Kanamori J. Electron correlation and ferromagnetism of transition metals. — Progr. Theor. Phys., 1963, 30, № 3, p. 275—289.
30. Mathon J. Pressure dependence of the magnetization in the itinerant electron model of ferromagnetism. — J. Phys. F: Metal Phys., 1972, 2, p. 159—168.
31. Heine V.  $s$ — $d$  interaction in transition metals. — Phys. Rev., 1967, 153, № 3, p. 673—682.